

Projeto 05: Simulações de Monte Carlo

7600073 - Física Estatística Computacional - 2024/01
20/05/2024

Prof. Dr. Francisco Castilho Alcaraz
Guilherme Santana de Almeida (12694668)

Resumo

Neste projeto estudaremos simulações de Monte Carlo no contexto de modelos de Spin, mas precisamente do Modelo de Ising Bidimensional. Calculamos magnetização, energia e capacidade térmica, varrendo uma gama de processos, desde recozimento, têmpera e loops térmicos. Também determinamos computacionalmente a temperatura crítica (T_c) do sistema e vimos a relação entre transições de fase e o tamanho do sistema.

Introdução

Simulações de Monte Carlo utilizam de números aleatórios para o cálculo de médias, de certa forma temporais. Essas simulações apresentam uma nova dimensão de tempo, a do tempo de Monte Carlo, e é nela que nossas médias são feitas. Ou seja, se simularmos sistemas físicos estaremos realizando uma dinâmica num tempo não-real. Ainda assim, estas simulações se fazem muito úteis, principalmente na termodinâmica como veremos nesse projeto. Como objeto de estudo dessas simulações vamos usar o...

...Modelo de Ising. Ele foi idealizado como um modelo matemático para o estudo do ferromagnetismo. Em duas dimensões, temos uma grade quadrada de comprimento L com $N = L^2$ sítios que podem assumir dois valores, -1 e 1 , representando os spins de um sistema, e podem interagir com seus vizinhos imediatos. A Hamiltoniana H (com campo magnético zero) desse sistema é dada por:

$$H = -J \sum_{\langle ij \rangle} \sigma_i \sigma_j \quad (1)$$

onde a soma é sobre os vizinhos (esquerda, direita, cima e baixo). O estado em cada sítio é dado por $s(x, y) = 1$ ou -1 , onde $x, y = 1, \dots, L$. Com isso, podemos escrever explicitamente a energia total do sistema numa dada configuração:

$$E = -\frac{J}{2} \sum_{i=1}^L \sum_{j=1}^L s(i, j) [s(i-1, j) + s(i, j+1) + s(i, j-1) + s(i+1, j)] \quad (2)$$

Disso, tiramos as seguintes conclusões: A energia mínima é $-2JN$, e acontece quando todos os spins estão orientados, todos 1 ou -1 . Num magneto, essa orientação (ou não) dos spins está relacionada com a temperatura na qual o sistema se encontra. Logo, podemos recuperar o Ensemble Canônico da termodinâmica, e verificar que a probabilidade não

normalizada (também chamada de fator de Boltzman) do sistema se encontrar numa configuração com energia E é

$$P(E_i) \approx e^{-E_i/T} \approx e^{-\beta E_i} \quad (k_B = 1) \quad (3)$$

com $\beta = \frac{1}{T}$ e a normalização dada pela função partição

$$Z = \sum_i e^{-\beta E_i} \quad (4)$$

A dinâmica de Monte Carlo que executaremos é chamada de Heat Bath (Banho Térmico) e ela começa da seguinte forma: Escolhemos aleatoriamente um sítio (i, j) , e nessa configuração a energia total do sistema é E_i com probabilidade $P(E_i)$. Se "fliparmos" o spin, fazendo $s(i, j) = -s(i, j)$ a energia total agora será E_f com probabilidade $P(E_f)$. Acontece que, se quisermos comparar essas duas configurações, só precisamos olhar para o sítio escolhido e seus vizinhos, afinal o único termo diferente é $s(i, j)$. Então, definindo $H = J[s(i-1, j) + s(i, j+1) + s(i, j-1) + s(i+1, j)]$, as probabilidades são dadas por

$$P(E_i) = \frac{e^{s\beta H}}{Z} \quad , \quad P(E_f) = \frac{e^{-s\beta H}}{Z} \quad (5)$$

e a normalização depende só das duas configurações da seguinte forma

$$Z = e^{s\beta H} + e^{-s\beta H} \quad (6)$$

Esse "flip" do spin será concretizado depois de compararmos essas probabilidades com um número aleatório v entre 0 e 1, caso v seja maior que $P(E_i)$, por exemplo, flipamos o spin. Todo esse processo é realizado N vezes (número total de sítios), escolhendo aleatoriamente um sítio a cada iteração, e após essas N iterações podemos dizer que uma unidade de tempo (ou uma iteração) de Monte Carlo se passou. Nossa simulação será concluída após um número necessário de iterações de Monte Carlo.

Tarefa A

Nessa tarefa, simularemos a dinâmica de Monte Carlo para $L = 60, 100$ e escalas de temperatura bastante distintas, fazendo $\beta = 3$ e $\beta = 0.1$. **E a partir daqui, fixamos $J = 1$ durante todo o projeto!** Aproveito para definir a magnetização por sítio $m = M/N$ do sistema, onde M é igual

$$M = \sum_i \sigma_i = \sum_{i=1}^L \sum_{j=1}^L s(i, j) \quad (7)$$

Essa será a quantidade termodinâmica que veremos aqui. Essa e outras quantidades termodinâmicas precisam ser calculadas como médias, como já dito antes. Essas médias precisam começar a serem feitas após o sistema termalizar, ou seja, atingir o equilíbrio. Aqui isso foi feito arbitrariamente, ou seja, realizamos um número razoável de iterações de termalização para depois fazer iterações em que de fato calculamos essas quantidades.

Nesta tarefa, esse número de iterações de termalização é mais arbitrário ainda, e isso vem das escalas de temperatura que $\beta = 3$ e $\beta = 0.1$ apresentam.

Voltamos a equação 3. No regime de baixas temperaturas $E_i \gg k_B T$, a probabilidade de achar o sistema numa configuração é máxima se a energia dela for mínima (todos os spins orientados), então é mais provável achar poucos sítios com spin oposto a seus vizinhos. Já no regime de altas temperaturas $E_i \ll k_B T$ temos o oposto, os sítios preferem estar com o spin contrário a seus vizinhos, e a rede fica desordenada.

Logo, para $J = 1$:

$$\begin{aligned}\beta = 3 &\Rightarrow \text{Baixa Temperatura} \Rightarrow \text{Ordem} \\ \beta = 0.1 &\Rightarrow \text{Alta Temperatura} \Rightarrow \text{Desordem}\end{aligned}$$

Então esperamos que $M = 1$ para $\beta = 3$ e $M = 0$ para $\beta = 0.1$.

(A1) $\beta = 3$

Como estamos começando a grade com todos os spins orientados na mesma direção $M = 1$, para $\beta = 3$ esperamos que **o sistema continue ordenado** e varie praticamente nada, já que ele está na configuração mais provável. Nos gráficos de configuração abaixo, branco significa spin = 1, e preto spin = -1.

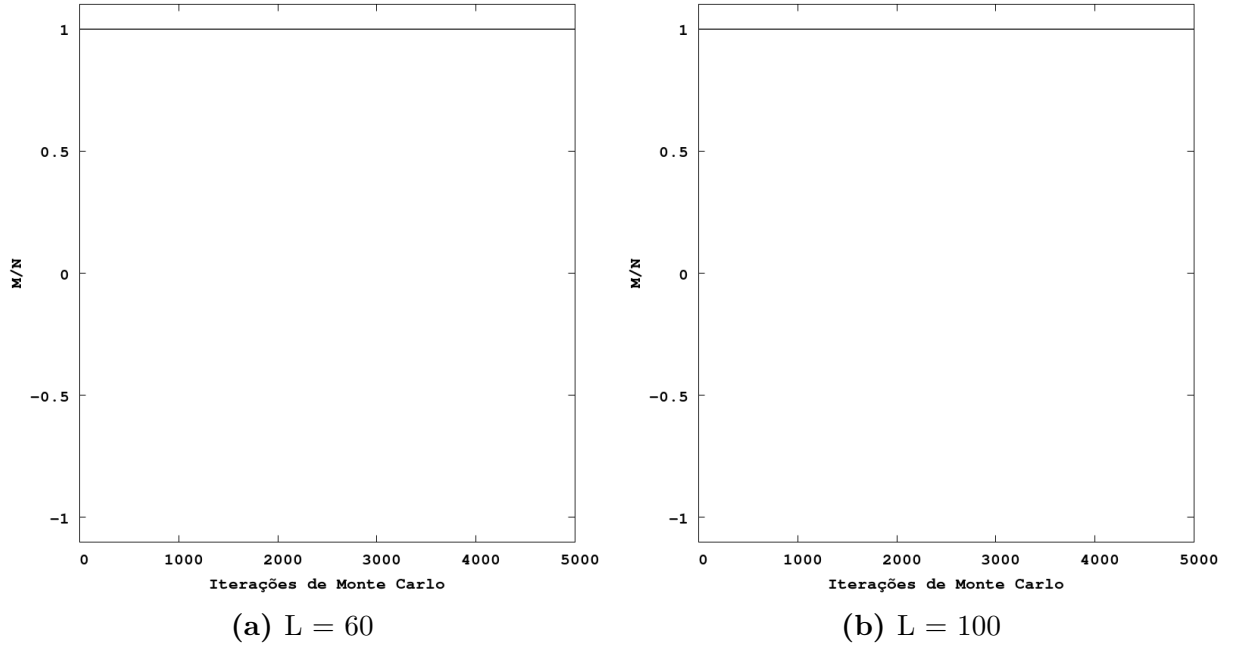


Figura 1: Magnetização de um sistema de spins bidimensional partindo de uma configuração totalmente ordenada com temperatura $\beta = 3$.

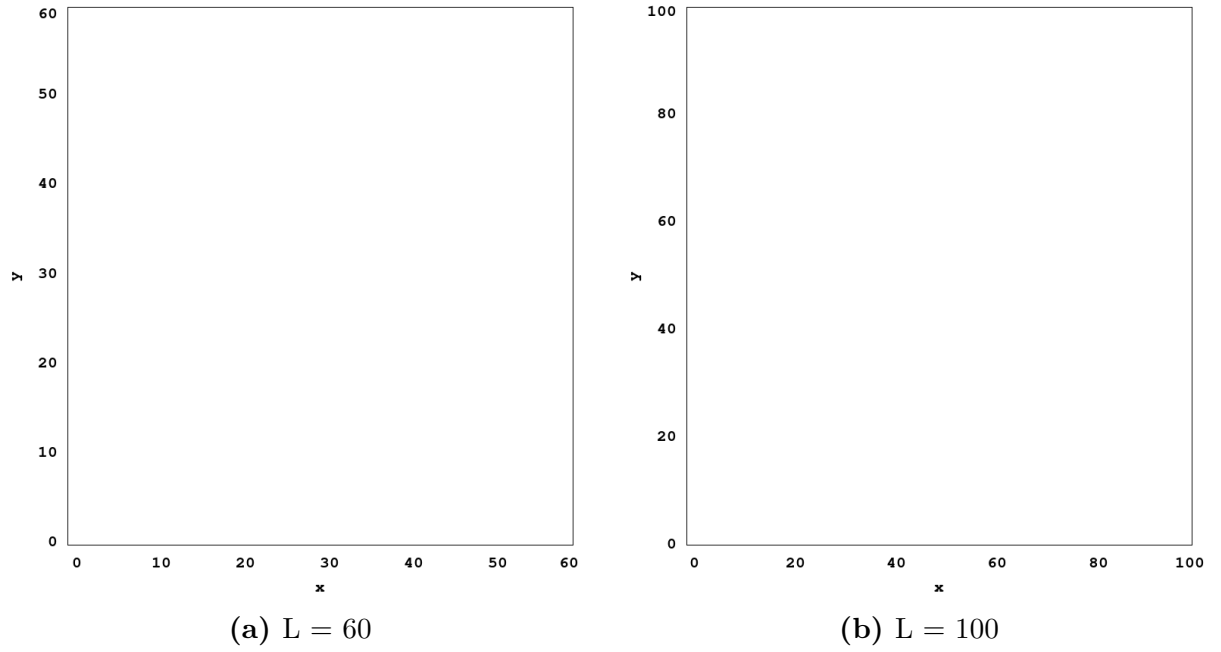


Figura 2: Configurações finais de um sistema de spins bidimensional partindo de uma configuração totalmente ordenada com temperatura $\beta = 3$.

(A2) $\beta = 0.1$

Para $\beta = 0.1$ o sistema transicionará para uma configuração desordenada. E isso ocorrerá muito rapidamente, não sendo necessário muitas iterações de termalização, dado em vista que $\beta = 0.1$ é uma temperatura muito alta.

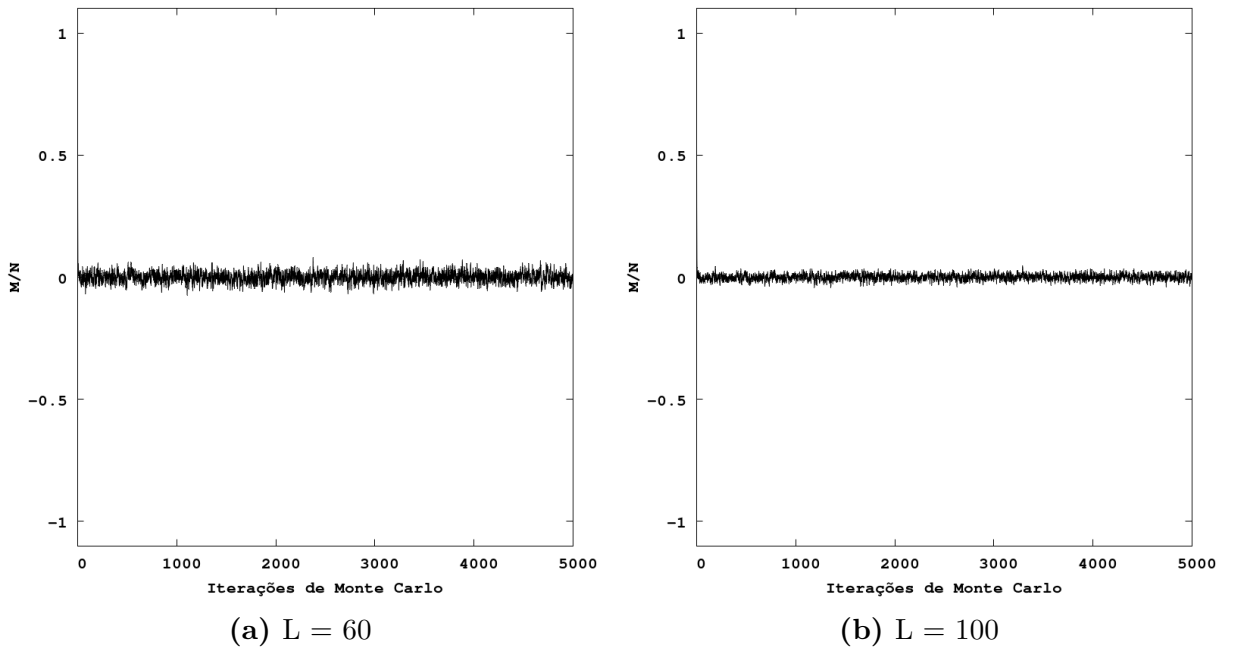


Figura 3: Magnetização de um sistema de spins bidimensional partindo de uma configuração totalmente ordenada com temperatura $\beta = 0.1$.

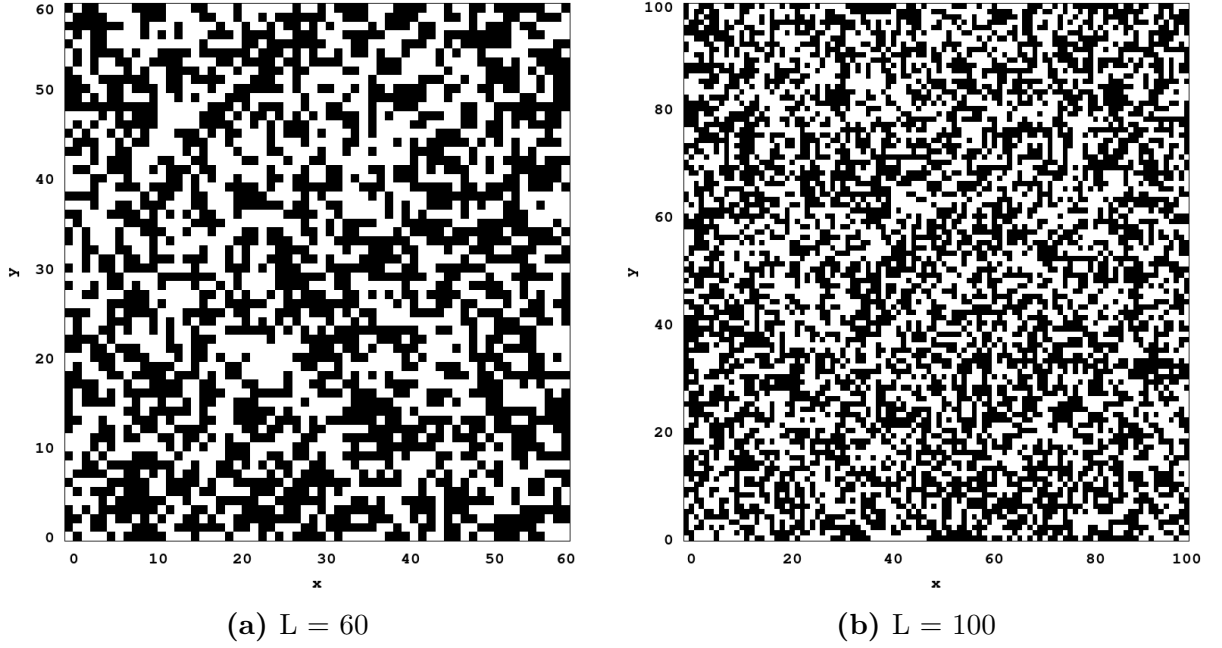


Figura 4: Configurações finais de um sistema de spins bidimensional partindo de uma configuração totalmente ordenada com temperatura $\beta = 0.1$.

Tarefa B

Desta vez, realizamos dois processos térmicos chamados *Annealing* (Recozimento) e *Quenching* (Têmpera). Em ambas, a configuração inicial corresponde a uma temperatura infinita, ou seja, com o sistema totalmente desordenado e aleatório. E com grade de tamanho $L = 60$.

(B1) Recozimento

Para realizar o recozimento, começamos com um temperatura correspondente à configuração inicial de mesma temperatura, ou seja, $\beta = 0$. A cada iteração de Monte Carlo aumentamos a temperatura de $\Delta\beta = 0.001$, até atingirmos $\beta = 3$. Então, no total faremos 3000 iterações de Monte Carlo.

Esse processo simula o tratamento feito com metais, no qual se aquece o metal ou liga desejado até uma certa temperatura, e logo em seguida o resfria lentamente até a temperatura ambiente. O metal ou liga resultantes dependem da temperatura inicial e taxa de resfriamento utilizadas, podendo formar diferentes tipos de estruturas cristalinas. Aqui, começamos à temperatura infinita e resfriamos de $\Delta\beta$ no tempo irreal de Monte Carlo, qual será o metal que surgiria disso?

Abaixo seguem os gráficos da densidade de energia E/N e a configuração final atingida. O gráfico de energia foi cortado um pouco para melhor visualizar a região de termalização. É importante notar a rapidez com que os spins se alinham, para compararmos com o próximo processo. Vemos que após boa parte dos spins se alinharem, forma-se um platô, tão longo quanto, seguido logo após pela termalização.

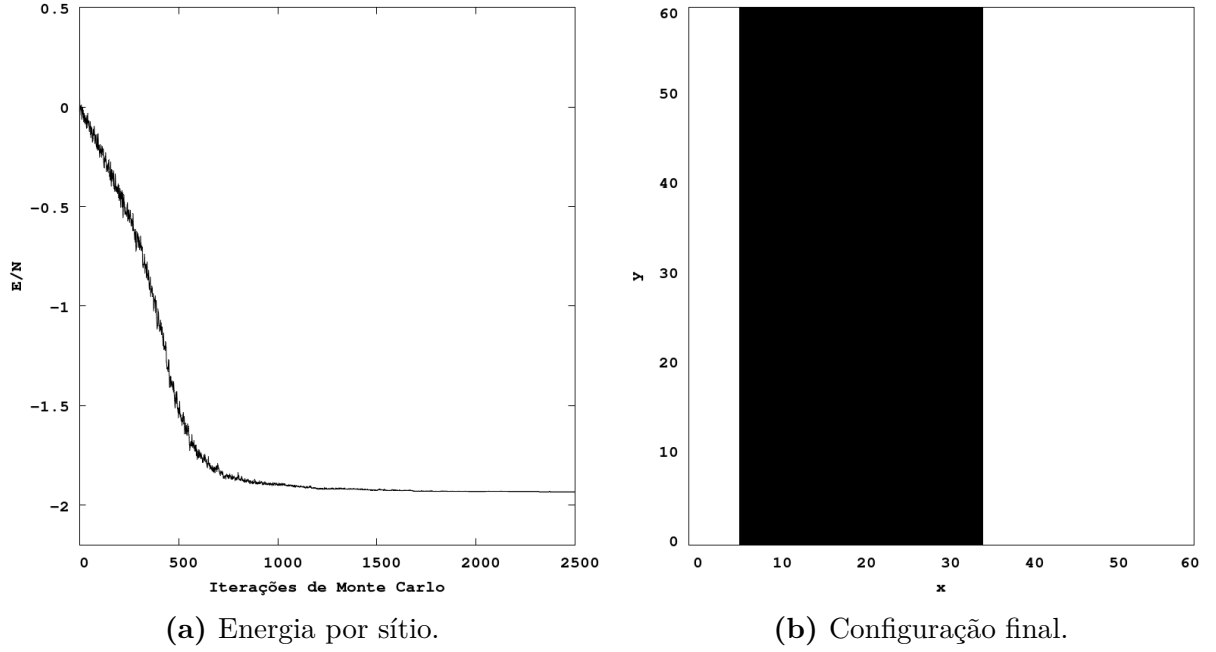


Figura 5: Processo de recozimento para uma grade de tamanho $L = 60$, com configuração inicial à temperatura infinita $\beta = 0$ e temperatura final $\beta = 3$, com passos de $\Delta\beta = 0.001$.

A configuração em faixas vista acima é fruto da simulação computacional. Na vida real não existe magneto com esse tipo de estrutura. Essa configuração também não dura para sempre, só é preciso que um dos spins das bordas de cada região flipem, para todo o sistema ficar alinhado, e para isso é preciso esperar um tempo de Monte Carlo maior. Esse fenômeno computacional é provavelmente o que ocasiona flutuações na capacidade térmica à baixas temperaturas, que veremos na tarefa C.

(B2) Têmpera

Na têmpera, resfriamos o metal rapidamente, o submergindo em água ou óleo logo após sair do forno. Isso é útil quando esquentamos nosso material de tal forma que atingimos a estrutura cristalina desejada. Para manter essa estrutura, criamos um choque térmico no material. Aqui isso equivale a começar com uma configuração de temperatura alta, mas logo na primeira iteração de Monte Carlo, reduzimos essa temperatura e a mantemos fixa enquanto nosso sistema evolui.

Ou seja, fixamos $\beta = 3$ durante toda a dinâmica, apesar de começarmos com a configuração inicial correspondente a $\beta = 0$. Por consistência, também faremos 3000 iterações de Monte Carlo nesse processo.

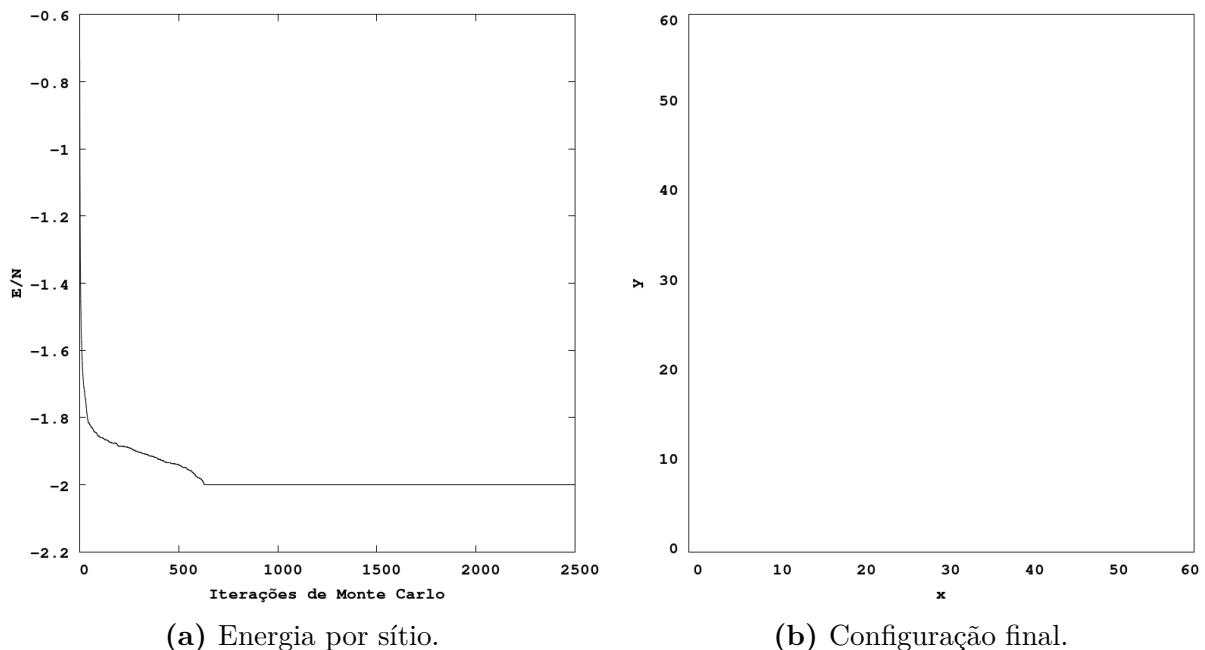


Figura 6: Processo de têmpera à temperatura fixa $\beta = 3$ para uma grade de tamanho $L = 60$, com configuração inicial à temperatura infinita $\beta = 0$.

Perceba que a energia cai muito mais rapidamente, ou seja, um quasi-equilíbrio é atingido imediatamente após o início do processo, seguido por um platô longo, e finalmente a termalização.

Tarefa C

O processo que será visto agora evidencia a física ao redor do ponto crítico do sistema, que denotamos β_c (ou T_c). Nele ocorre o que se chama transição de fase, que é caracterizada pela descontinuidade na energia em função da temperatura (também chamada parâmetro de ordem), ou de suas derivadas. Caso a energia for descontínua, temos uma transição de fase de primeira ordem. Caso a energia seja contínua, mas a derivada a respeito da temperatura, também conhecida como capacidade térmica, for descontínua, temos uma transição de fase de segunda ordem, e assim por diante.

Agora vamos pensar no processo dessa tarefa, o loop térmico. O que queremos fazer é iniciarmos uma configuração a temperatura infinita ($\beta = 0$) e diminuirmos essa temperatura até próximo do zero absoluto, para então aumentá-la de novo à temperatura infinita.

Quando diminuirmos a temperatura, os spins começam a se organizar, porém, a medida que chegamos à temperatura final e imediatamente começamos a aquecer novamente, o sistema não teve tempo de termalizar, e alguns sítios vão estar bem alinhados com seus vizinhos, enquanto outros não tiveram esse tempo para socializar. E na volta, aumentando a temperatura, esses sítios alinhados não vão ter tempo de brigar com seus vizinhos completamente. Perceba que, nesses regimes de altas e baixas temperaturas, o que importa são apenas os vizinhos próximos, sítios distantes não influenciam a si mesmos. Na verdade, a distância de influência que cada sítio possui chama-se comprimento de cor-

relação, e ela é máxima na temperatura crítica. Logo, como temos duas configurações diferentes vindas de cada lado, a energia toma caminhos diferentes também. Para cada ciclo de esquentar ou esfriar, o gráfico da energia é parecido com 5, mas a figura que surge devido esse comportamento é chamada **histerese**. Histerese também é definida como a dependência do sistema com seu histórico, e é um comportamento visto em diversas outras áreas como economia e biologia.

(C1)

Para $L = 60, 80$ e 100 e $\Delta\beta = 0.001$ e 0.0001 , vamos realizar o loop térmico na faixa $\beta = (0, 1.75)$. O objetivo é evidenciar a histerese, pois com ela podemos calcular a temperatura crítica, que se encontra em seu centro. E devido a física já discutida, fica claro que esperamos que a região de histerese se alargue conforme se aumenta $\Delta\beta$.

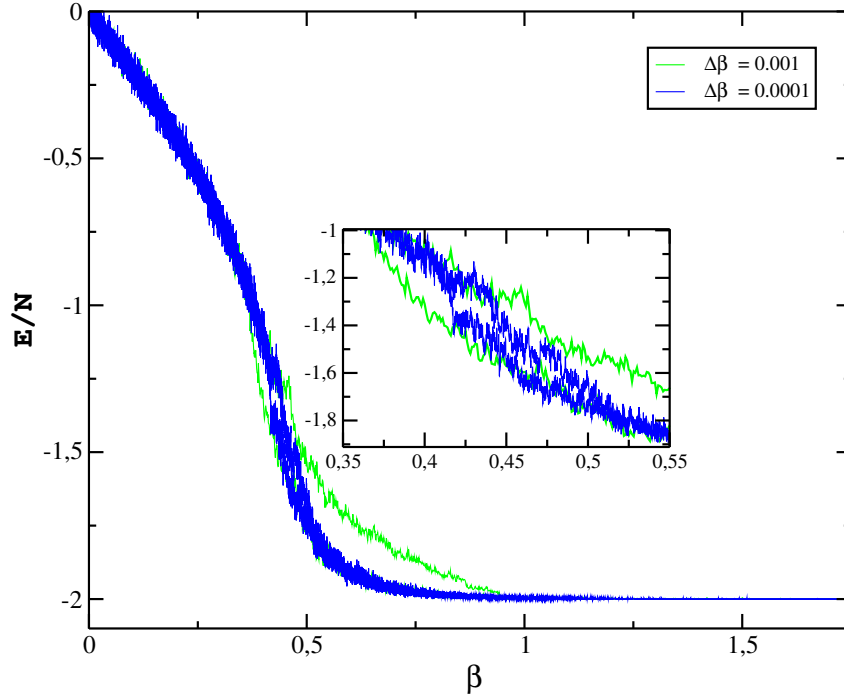


Figura 7: Histereses para $L = 60$.

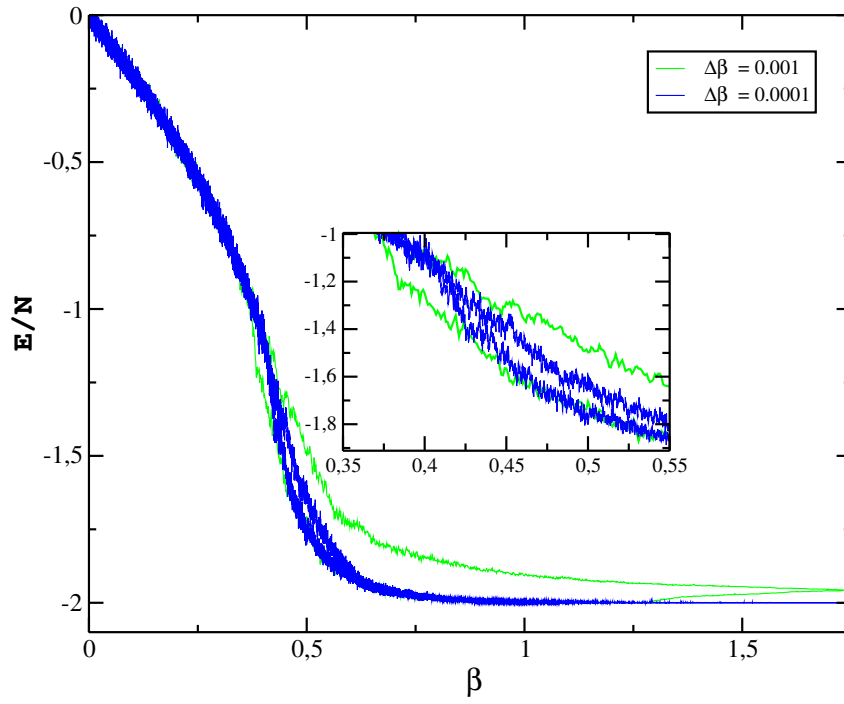


Figura 8: Histereses para $L = 80$.

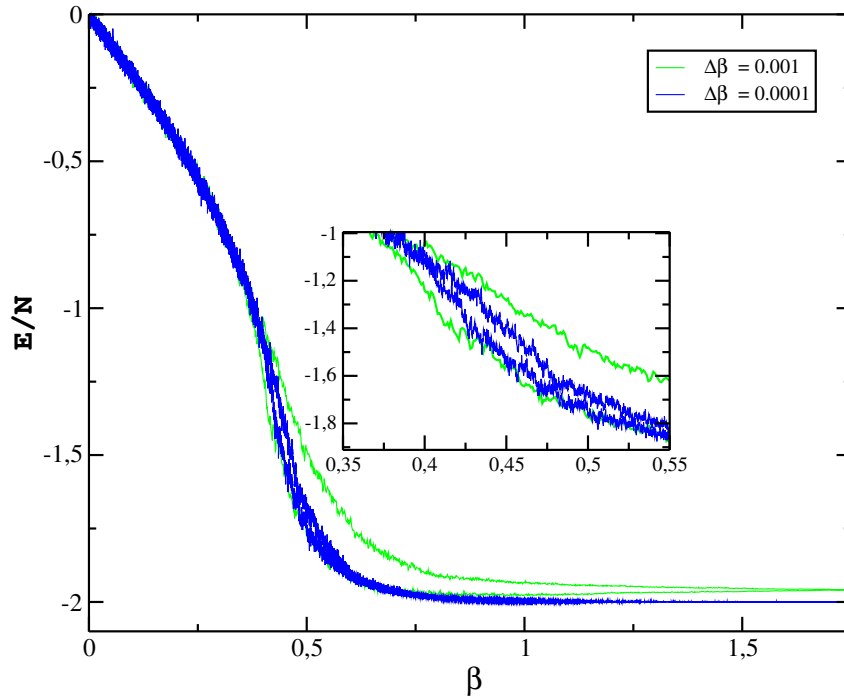


Figura 9: Histereses para $L = 100$.

Logo, podemos estimar que o centro da histerese fica entre 0.35 e 0.55. A temperatura crítica se encontra por aqui, e vamos usar esse intervalo na próxima tarefa.

(C2)

Como vimos, a correlação entre spins depende da temperatura e a distância de correlação é máxima na temperatura crítica. Se olharmos para o centro da histerese, é lá que encontraremos esse valor. Uma forma de fazer isso é criando essa curva de correlação. É sabido que essa curva cai exponencialmente para cada lado da temperatura crítica, e seu máximo aumenta conforme o tamanho do sistema aumenta, L no nosso caso. E para sistemas reais com L muito grande, a curva diverge. Isso vem de resultados conhecidos da termodinâmica e física estatística. Outro resultado conhecido é a solução do modelo de Ising em duas dimensões, que foi resolvido analiticamente em 1944 por Lars Onsager [2].

Ele provou que a temperatura crítica T_c é dada por:

$$T_c = \frac{2}{\ln 1 + \sqrt{2}} \approx 2.27 \quad (\text{para } J = 1 \text{ e } k_B = 1) \quad (8)$$

o que equivale a $\beta_c = 0.44$. Então o que estamos tentando fazer é chegar na mesma resposta usando física e computação!

Finalmente, como fazer isso? Bom, podemos calcular a capacidade térmica, já que a transição de fase do sistema é de segunda ordem. Temos duas formas de fazer isso: com o método direto ou com um resultado da termodinâmica de equilíbrio, ambos se parecem, respectivamente com:

$$C_T = \lim_{\Delta T \rightarrow 0} \frac{\Delta E}{\Delta T} \quad \text{ou} \quad C_T = \frac{\sigma_E^2}{T^2} \quad (9)$$

onde σ_E^2 é a variância da energia. Por praticidade, vamos calcular utilizando a variância.

Escolhemos uma faixa da histerese, algo em torno de $\beta = 0.35$ e 0.55 , com $L = 60, 80$ e 100 , com passo de $\Delta\beta = 0.01$. E também, com uma configuração inicial com metade dos spins ordenados e a outra metade desordenada, para simular os dois extremos de temperatura. Com isso, rodamos um programa suficientemente demorado para o sistema ter tempo de termalizar e evoluir, e os resultados ficarem mais precisos. Isso faz dessa parte a mais computacionalmente custosa e demorada (com 250000 iterações de Monte Carlo no total para cada L !). Devido à quantidade de números aleatórios usados, o Prof. Hoyos sugeriu o uso do algoritmo rkiss05, o melhor e mais rápido gerador de números aleatórios segundo ele. E também, o método da variância pode apresentar picos indesejados na curva, frutos de uma relíquia computacional mas que podem ser diminuídos com uma termalização mais longa. E para aumentar a resolução, escolheu-se uma faixa mais próxima da temperatura crítica onde podemos aumentar a precisão para $\Delta\beta = 0.001$.

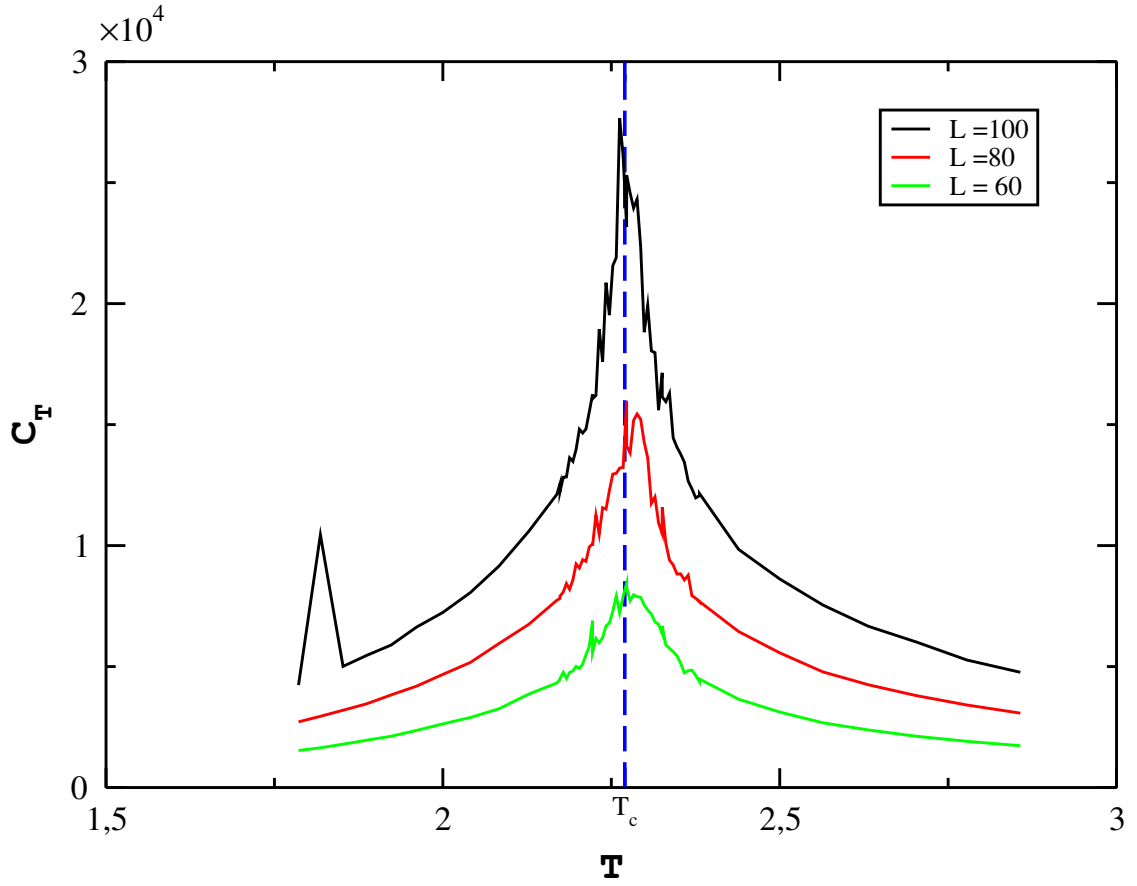
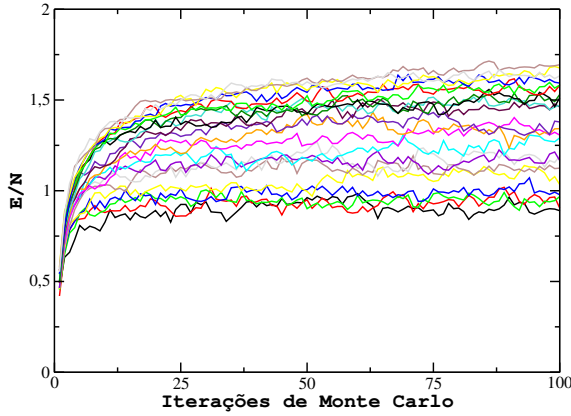


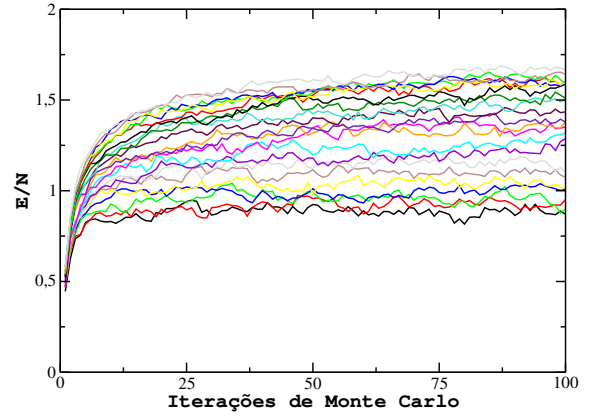
Figura 10: Capacidade térmica em função da temperatura (T) para grades de tamanhos $L = 60, 80$ e 100 .

Se retirarmos o valor de T para o máximo de cada curva, recuperamos $T_c = 2.27$, aproximadamente. E como esperado, o pico aumenta com o tamanho do sistema. Na verdade, se fizermos um gráfico da capacidade térmica máxima, ou seja, na temperatura crítica, em função de $\ln L$, iríamos notar uma relação linear com coeficiente positivo. Mas não podemos fitar uma curva com só 3 pontos, então não vai ter gráfico.

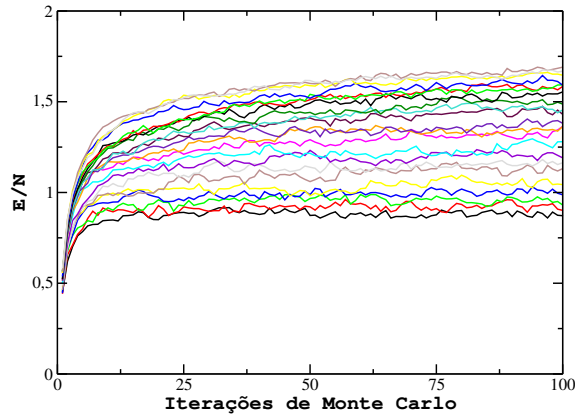
As curvas de energia para cada β estão abaixo. Percebe-se a diferença de variação entre elas, todas partindo da mesma configuração inicial. A variância de cada uma dessas curvas é que foi calculado.



(a) $L = 60$.



(b) $L = 80$.



(c) $L = 100$.

Figura 11: curvas de energia E/N para diferentes temperaturas partindo da mesma configuração inicial.

Tarefa D

Para finalizar o projeto, vamos ver um pouco da quebra espontânea de simetria, responsável pela transição de fase existente em sistemas como esse. O modelo de Ising possui uma simetria global (chamada $Z(2)$), que basicamente significa que se fliparmos todos os spins de uma configuração de energia E , a energia da nova configuração tem mesma energia E , e logo, mesma probabilidade. Então em média, a magnetização seria zero, afinal essas duas configurações equiprováveis tem magnetizações opostas. Mas já vimos como para temperaturas baixas a magnetização média é diferente de zero, então essa simetria precisa ser quebrada, e isso ocorre espontaneamente com a evolução do sistema.

Essa transição de fase faz com que nosso sistema vá de uma configuração com magnetização M para outra com $-M$. E o tempo médio entre essas transições deve crescer com o tamanho do sistema, afinal, gelo para água é uma transição de fase, assim como água para gelo, mas com temperatura fixa ninguém vê essa transição de fase acontecer

espontaneamente, muito menos a segunda. Então para sistemas tão grandes quanto um cubo de gelo (3.3×10^{22} moléculas!) esse tempo tangência infinito. Mas para o modelo de Ising com $L = 4, 5, \dots, 10$ esse tempo é computável, e é o que vamos fazer!

Com uma configuração inicial totalmente desordenada e temperatura $\beta = 1/2$, vamos simular grades com os comprimentos mencionados, calculando quantas vezes o sinal de M é trocado, começando após 10000 iterações de termalização, e fazendo a conta durante 500000 iterações de Monte Carlo!

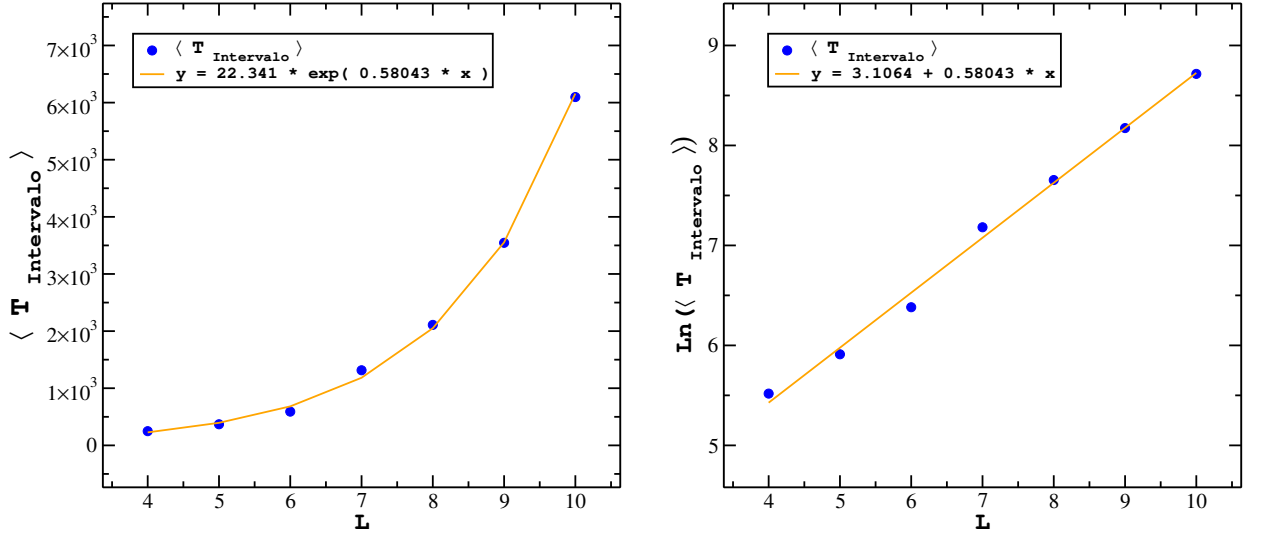


Figura 12: Intervalos de tempo médio entre transições de fase em função do tamanho L do sistema.

Podemos ver claramente o comportamento esperado em ambos os gráficos! Um crescimento exponencial em L . E para completar, um gráfico das transições de fase representadas pela magnetização abaixo, para $L = 10$:

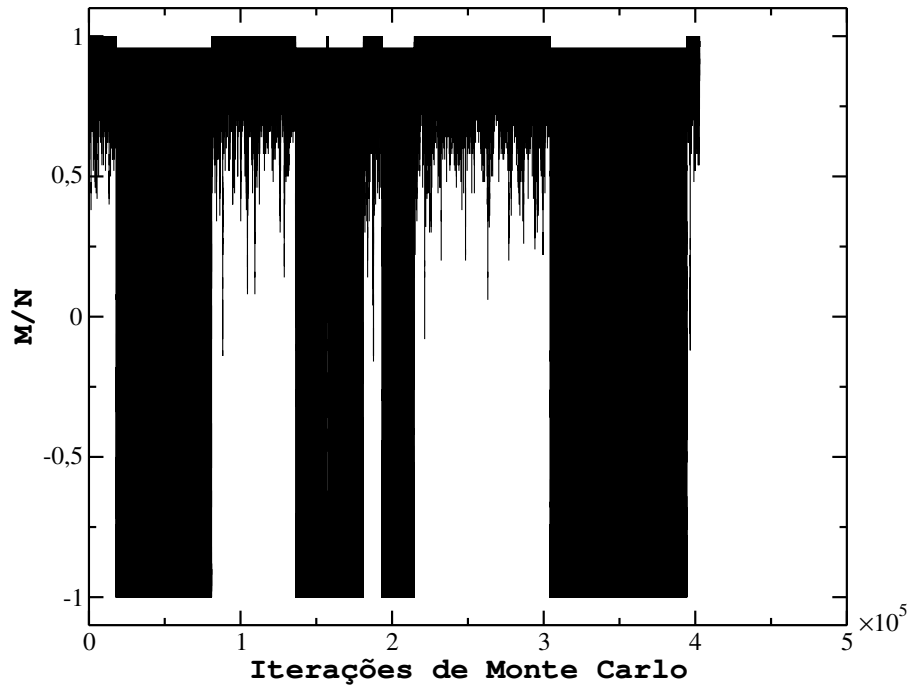


Figura 13: Magnetização em função das iterações de Monte Carlo para um sistema com $L = 10$ e $\beta = \frac{1}{2}$.

Referências

- [1] Nicholas J. Giordano e Hisao Nakanishi. *Computational Physics*. 2^a ed. Upper Saddle River (NJ): Prentice Hall, 2006.
- [2] Lars Onsager. “Crystal statistics. I. a two-dimensional model with an order-disorder transition”. Em: *Phys. Rev.* 65.3-4 (fev. de 1944), pp. 117–149.

Apêndice

GIFs

Dentro das pastas das tarefas A até C coloquei alguns GIFs da dinâmica do sistema, com grades de $L = 500$. Cada um tem até um minuto e meio de duração.

Também existe um GIF da termalização na temperatura crítica, para tentar ilustrar o comportamento singular nesse ponto. Nele podemos ver que se forma um padrão fractal na figura: clusters dentro de cluster dentro de clusters... E assim por diante. $L = 500$ ainda é pequeno para vislumbrar esse fenômeno, mas é o suficiente para começar.

Códigos

Tarefa A

```
1  !! tarefa-A-12694668.f90
2  program tarefaA
3      character(26) :: M_data(4)
4      character(37) :: config_file(4)
5      M_data = [character(len=26) :: "./tarefa-A1/A1-L-60-M.dat",
6         ↪  "./tarefa-A1/A1-L-100-M.dat", &
7         ↪  &"/tarefa-A2/A2-L-60-M.dat",
8         ↪  &"/tarefa-A2/A2-L-100-M.dat"]
9
10     config_file = [character(len=37) :: "./tarefa-A1/A1-L-60-final-config.out",
11        ↪  &"/tarefa-A1/A1-L-100-final-config.out",&
12        ↪  &"/tarefa-A2/A2-L-60-final-config.out",
13        ↪  &"/tarefa-A2/A2-L-100-final-config.out" ]
14
15     call ising(60, 3d0, M_data(1), config_file(1))
16     call ising(100, 3d0, M_data(2), config_file(2))
17     call ising(60, 0.1d0, M_data(3), config_file(3))
18     call ising(100, 0.1d0, M_data(4), config_file(4))
19
20     contains
21     subroutine plot(g, L, config_file)
22         integer, intent(in) :: L
23         character(*), intent(in) :: config_file
24         byte, intent(in) :: g(L,L)
25         character(1) :: isimb(-1:1)
26         isimb(1) = '1'
27         isimb(-1) = '0'
28         open(unit=2,file=config_file,status='unknown')
29         do i=1, L
30             write(2,'(200a2)') (isimb(g(i,j))), j=1, L
31         end do
32         close(2)
33     end subroutine
34
35     subroutine heatbath(g, Beta, L, M)
36         implicit none
37         integer, intent(in) :: L
38         real(8), intent(in) :: Beta
39         real(8), intent(inout) :: M
40         byte, intent(inout) :: g(L,L)
41
42         integer :: x, y, i
43         real(8) :: Pi, r(2), u
```

```

39     byte :: H
40
41     do i=1, L*L
42         call RANDOM_NUMBER(r)
43         x = 1 + floor(L*r(1))
44         y = 1 + floor(L*r(2))
45
46         H = ( g(mod(x-2+L,L)+1,y) + g(mod(x,L)+1,y) + g(x,mod(y-2+L,L)+1) +
47             ↪ g(x,mod(y,L)+1) )
48         Pi = exp( Beta*g(x,y)*H) / ( exp(-Beta*g(x,y)*H) + exp(Beta*g(x,y)*H) )
49
50         call RANDOM_NUMBER(u)
51         if (u .gt. Pi) then
52             g(x,y) = -g(x,y)
53             M = M + 2*g(x,y)
54         end if
55     end do
56 end subroutine
57
58 subroutine ising(L,Beta,M_data,config_file)
59     implicit none
60     integer, intent(in) :: L
61     real(8), intent(in) :: Beta
62     character(*), intent(in) :: M_data, config_file
63
64     integer :: i, nterm = 50000, niter = 10000
65     real(8) :: M
66     byte :: g(L,L)
67
68     open(unit=1,file=M_data,status='unknown')
69
70     g = 1
71     M = 1d0*L*L
72
73     do i=1, nterm + niter
74         call heatbath(g, Beta, L, M)
75         write(1,*) i, M / (L*L)
76     end do
77     call plot(g,L,config_file)
78     close(1)
79 end subroutine
80 end program

```

Tarefa B1

```
1  !! tarefa-B1-12694668.f90
2  program tarefaB1
3      call annealing(60, 0d0, 3d0, 0.001d0, "B1-Annealing-L-60-Energy.dat",
4          ↪ "B1-Annealing-L-60-Final-Config.out")
5
6      contains
7      subroutine plot(g, L, config_file)
8          integer, intent(in) :: L
9          character(*), intent(in) :: config_file
10         byte, intent(in) :: g(L,L)
11         character(1) :: isimb(-1:1)
12         isimb(1) = '1'
13         isimb(-1) = '0'
14         open(unit=2,file=config_file,status='unknown')
15         do i=1, L
16             write(2,'(200a2)') (isimb(g(i,j)), j=1, L)
17         end do
18         close(2)
19     end subroutine
20
21     subroutine heatbath(g, Beta, L, E)
22         implicit none
23         integer, intent(in) :: L
24         real(8), intent(in) :: Beta
25         real(8), intent(inout) :: E
26         byte, intent(inout) :: g(L,L)
27
28         integer :: x, y, i
29         real(8) :: Pi, r(2), u
30         byte :: H
31
32         do i=1, L*L
33             call RANDOM_NUMBER(r)
34             x = 1 + floor(L*r(1))
35             y = 1 + floor(L*r(2))
36
37             H = ( g(mod(x-2+L,L)+1,y) + g(mod(x,L)+1,y) + g(x,mod(y-2+L,L)+1) +
38                 ↪ g(x,mod(y,L)+1) )
39             Pi = exp( Beta*g(x,y)*H) / ( exp(-Beta*g(x,y)*H) + exp(Beta*g(x,y)*H) )
40
41             call RANDOM_NUMBER(u)
42             if (u .gt. Pi) then
43                 g(x,y) = -g(x,y)
44                 E = E - 2d0*g(x,y)*H
```

```

43         end if
44     end do
45 end subroutine
46
47 subroutine annealing(L,Beta_i,Beta_f,dB,E_data,config_file)
48     implicit none
49     integer, intent(in) :: L
50     real(8), intent(in) :: Beta_i, Beta_f, dB
51     character(*), intent(in) :: E_data, config_file
52
53     integer :: i, j
54     real(8) :: E, Beta, init(L,L)
55     byte :: g(L,L)
56
57     open(unit=1,file=E_data,status='unknown')
58
59     call RANDOM_NUMBER(init)
60     g = 2*nint(init)-1
61
62     E = 0
63     do i=1, L
64         do j=1, L
65             E = E - g(i,j)*( g(mod(i,L)+1,j) + g(i,mod(j,L)+1) )
66         end do
67     end do
68
69     do i=int(Beta_i), int((Beta_f-Beta_i)/dB)
70         Beta = i*dB
71         call heatbath(g, Beta, L, E)
72         write(1,*) i, E / (L*L)
73     end do
74     call plot(g,L,config_file)
75     close(1)
76 end subroutine
77 end program

```

Tarefa B2

```

1  !! tarefa-B2-12694668.f90
2  program tarefaB2
3      call quenching(60, 3d0, "B2-Quenching-L-60-Energy.dat",
4          ↪ "B2-Quenching-L-60-Final-Config.out")
5
6      contains

```

```

6  subroutine plot(g, L, config_file)
7      integer, intent(in) :: L
8      character(*), intent(in) :: config_file
9      byte, intent(in) :: g(L,L)
10     character(1) :: isimb(-1:1)
11     isimb(1) = '1'
12     isimb(-1) = '0'
13     open(unit=2,file=config_file,status='unknown')
14     do i=1, L
15         write(2,'(200a2)') (isimb(g(i,j))), j=1, L
16     end do
17     close(2)
18 end subroutine
19
20 subroutine heatbath(g, Beta, L, E)
21     implicit none
22     integer, intent(in) :: L
23     real(8), intent(in) :: Beta
24     real(8), intent(inout) :: E
25     byte, intent(inout) :: g(L,L)
26
27     integer :: x, y, i
28     real(8) :: Pi, r(2), u
29     byte :: H
30
31     do i=1, L*L
32         call RANDOM_NUMBER(r)
33         x = 1 + floor(L*r(1))
34         y = 1 + floor(L*r(2))
35
36         H = ( g(mod(x-2+L,L)+1,y) + g(mod(x,L)+1,y) + g(x,mod(y-2+L,L)+1) +
37             ↪ g(x,mod(y,L)+1) )
38         Pi = exp( Beta*g(x,y)*H ) / ( exp(-Beta*g(x,y)*H) + exp(Beta*g(x,y)*H) )
39
40         call RANDOM_NUMBER(u)
41         if (u .gt. Pi) then
42             g(x,y) = -g(x,y)
43             E = E - 2d0*g(x,y)*H
44         end if
45     end do
46 end subroutine
47
48 subroutine quenching(L,Beta,E_data,config_file)
49     implicit none
50     integer, intent(in) :: L
51     real(8), intent(in) :: Beta

```

```

51     character(*), intent(in) :: E_data, config_file
52
53     integer :: i, j
54     real(8) :: E, init(L,L)
55     byte :: g(L,L)
56
57     open(unit=1,file=E_data,status='unknown')
58
59     call RANDOM_NUMBER(init)
60     g = 2*nint(init)-1
61
62     E = 0
63     do i=1, L
64         do j=1, L
65             E = E - g(i,j)*( g(mod(i,L)+1,j) + g(i,mod(j,L)+1) )
66         end do
67     end do
68
69     do i=1, 3000
70         call heatbath(g, Beta, L, E)
71         write(1,*) i, E / (L*L)
72     end do
73     call plot(g,L,config_file)
74     close(1)
75 end subroutine
76 end program

```

Tarefa C1

```

1  !! tarefa-C1-12694668.f90
2  program tarefaC1
3      integer :: L_list(3)
4      character(35) :: E_data(6)
5      E_data = [character(len=35) ::
6          ↪  "/C1-L-60-E-Beta-1E3.dat", "/C1-L-60-E-Beta-1E4.dat", &
7          ↪  &"/C1-L-80-E-Beta-1E3.dat", "/C1-L-80-E-Beta-1E4.dat", &
8          ↪  &"/C1-L-100-E-Beta-1E3.dat", "/C1-L-100-E-Beta-1E4.dat"]
9
10     L_list = [60, 80, 100]
11     do i=0, 2
12         call termloop(L_list(i+1), 0d0, 1.75d0, 0.001d0, E_data(2*i+1))
13         call termloop(L_list(i+1), 0d0, 1.75d0, 0.0001d0, E_data(2*i+2))

```

```

13     end do
14
15     contains
16     subroutine heatbath(g, Beta, L, E)
17         implicit none
18         integer, intent(in) :: L
19         real(8), intent(in) :: Beta
20         real(8), intent(inout) :: E
21         byte, intent(inout) :: g(L,L)
22
23         integer :: x, y, i
24         real(8) :: Pi, r(2), u
25         byte :: H
26
27         do i=1, L*L
28             call RANDOM_NUMBER(r)
29             x = 1 + floor(L*r(1))
30             y = 1 + floor(L*r(2))
31
32             H = ( g(mod(x-2+L,L)+1,y) + g(mod(x,L)+1,y) + g(x,mod(y-2+L,L)+1) +
33                 ↪ g(x,mod(y,L)+1) )
34             Pi = exp( Beta*g(x,y)*H ) / ( exp(-Beta*g(x,y)*H) + exp(Beta*g(x,y)*H) )
35
36             call RANDOM_NUMBER(u)
37             if (u .gt. Pi) then
38                 g(x,y) = -g(x,y)
39                 E = E - 2d0*g(x,y)*H
40             end if
41         end do
42     end subroutine
43
44     subroutine termloop(L,Beta_min,Beta_max,dB,E_data)
45         implicit none
46         integer, intent(in) :: L
47         real(8), intent(in) :: Beta_min, Beta_max, dB
48         character(*), intent(in) :: E_data
49
50         integer :: i, j
51         real(8) :: E, Beta, init(L,L)
52         byte :: g(L,L)
53
54         open(unit=1,file=E_data,status='unknown')
55
56         call RANDOM_NUMBER(init)
57         g = 2*nint(init)-1

```

```

58     E = 0
59     do i=1, L
60         do j=1, L
61             E = E - g(i,j)*( g(mod(i,L)+1,j) + g(i,mod(j,L)+1) )
62         end do
63     end do
64
65     !! Ida
66     do i=int(Beta_min), int((Beta_max-Beta_min)/dB)
67         Beta = i*dB
68         call heatbath(g, Beta, L, E)
69         write(1,*) Beta, E / (L*L)
70     end do
71
72     !! Volta
73     do i=int((Beta_max-Beta_min)/dB)-1, int(Beta_min), -1
74         Beta = i*dB
75         call heatbath(g, Beta, L, E)
76         write(1,*) Beta, E / (L*L)
77     end do
78     close(1)
79 end subroutine
80 end program

```

Tarefa C2

```

1  !! tarefa-C2-12694668.f90
2  program tarefaC2
3      call ising(60, 123, 0.35d0, 0.55d0, 0.01d0, "./C2-L-60-E.dat", "./C2-L-60-Ct.dat")
4      call ising(80, 456, 0.35d0, 0.55d0, 0.01d0, "./C2-L-80-E.dat", "./C2-L-80-Ct.dat")
5      call ising(100, 789, 0.35d0, 0.55d0, 0.01d0, "./C2-L-100-E.dat",
6          ↪  "./C2-L-100-Ct.dat")
7
8      !! O passo de dB = 0.01 é muito grande para o gráfico de Variância versus Beta
9          ↪  exibir uma curva
10     !! mais precisa, então usando o valor esperado de T_c  2.27 (Beta_c  0.44),
11         ↪  diminuimos o passo para 0.001 e rodamos
12     !! novamente no intervalo (Beta_c-0.02,Beta_c+0.02) para somarmos aos dados
13         ↪  anteriores.
14     call ising(60, 123, 0.42d0, 0.46d0, 0.001d0, "./dummy.dat",
15         ↪  "./C2-L-60-Ct-Extra.dat")
16     call ising(80, 456, 0.42d0, 0.46d0, 0.001d0, "./dummy.dat",
17         ↪  "./C2-L-80-Ct-Extra.dat")

```

```

13  call ising(100, 789, 0.42d0, 0.46d0, 0.001d0, "./dummy.dat",
    ↪  " ./C2-L-100-Ct-Extra.dat")
14
15  contains
16  subroutine ising(L,seed,Beta_i,Beta_f,dB,E_data,Ct_data)
17      implicit none
18      integer, intent(in) :: L, seed
19      real(8), intent(in) :: Beta_i, Beta_f, dB
20      character(*), intent(in) :: E_data, Ct_data
21
22      integer, parameter :: nterm = 50000, niter = 200000
23      integer :: i, j, k, m
24      real(8) :: E, Beta, init(L,L), x, xx,
    ↪  Energies(nterm+niter,0:ceiling((Beta_f-Beta_i)/dB))
25      real(8) :: fb(-4:4)
26      byte :: g(L,L)
27
28      open(unit=1,file=E_data,status='unknown')
29      open(unit=2,file=Ct_data,status='unknown')
30
31      call kissinit(seed)
32
33      do i=1, L/2
34          do j=1, L
35              init(i,j) = 2*nint(rkiss05())-1
36          end do
37      end do
38      init(L/2+1:L,1:L) = 1
39
40      g = init
41
42      do i=0, ceiling((Beta_f-Beta_i)/dB)
43          g = init
44          Beta = Beta_i + i*dB
45
46          do m=-4,4
47              fb(m) = exp(-Beta*m)
48          end do
49
50          x = 0
51          xx = 0
52          E = 0
53          do j=1, L
54              do k=1, L
55                  E = E - g(j,k)*( g(mod(j,L)+1,k) + g(j,mod(k,L)+1) )
56              end do

```

```

57         end do
58
59         !! Termalização
60         do m=1, nterm
61             call heatbath(g, fb, L, E)
62             Energies(m,i) = E / (L*L)
63         end do
64
65         do m=1, niter
66             call heatbath(g, fb, L, E)
67             Energies(nterm+m,i) = E / (L*L)
68             x = x + E
69             xx = xx + E*E
70         end do
71         x = x/niter
72         xx = xx/niter
73         write(2,*) 1/Beta, (xx - x*x) * (Beta**2) ! Beta, Calor Específico / N
74     end do
75
76     do i=1, nterm
77         write(1,*) i, Energies(i,:)
78     end do
79     close(1)
80     close(2)
81 end subroutine
82
83 subroutine heatbath(g, fb, L, E)
84     implicit none
85     integer, intent(in) :: L
86     real(8), intent(in) :: fb(-4:4)
87     real(8), intent(inout) :: E
88     byte, intent(inout) :: g(L,L)
89
90     integer :: x, y, i
91     real(8) :: Pi, u
92     byte :: H
93
94     do i=1, L*L
95         x = 1 + floor(L*rkiss05())
96         y = 1 + floor(L*rkiss05())
97
98         H = ( g(mod(x-2+L,L)+1,y) + g(mod(x,L)+1,y) + g(x,mod(y-2+L,L)+1) +
99             ↪ g(x,mod(y,L)+1) )
100         Pi = fb(g(x,y)*H) / ( fb(-g(x,y)*H) + fb(g(x,y)*H) )
101
102         u = rkiss05()

```



```

102         if (u .gt. Pi) then
103             g(x,y) = -g(x,y)
104             E = E - 2d0*g(x,y)*H
105         end if
106     end do
107 end subroutine
108
109 FUNCTION rkiss05()
110 implicit none
111
112 integer,parameter      :: r8b= SELECTED_REAL_KIND(P=14,R=99)    ! 8-byte reals
113 integer,parameter      :: i4b= SELECTED_INT_KIND(8)              ! 4-byte integers
114 real(r8b),parameter    :: am=4.656612873077392578d-10           ! multiplier 1/2^31
115
116 real(r8b)              :: rkiss05
117 integer(i4b)           :: kiss
118 integer(i4b)           :: x,y,z,w                                ! working variables for the four
119                          ↪ generators
120 common /kisscom/x,y,z,w
121
122 x = 69069 * x + 1327217885
123 y= ieor (y, ishft (y, 13)); y= ieor (y, ishft (y, -17)); y= ieor (y, ishft (y, 5))
124 z = 18000 * iand (z, 65535) + ishft (z, - 16)
125 w = 30903 * iand (w, 65535) + ishft (w, - 16)
126 kiss = ishft(x + y + ishft (z, 16) + w , -1)
127 rkiss05=kiss*am
128
129 END FUNCTION rkiss05
130
131 SUBROUTINE kissinit(iinit)
132 implicit none
133 integer,parameter      :: r8b= SELECTED_REAL_KIND(P=14,R=99)    ! 8-byte reals
134 integer,parameter      :: i4b= SELECTED_INT_KIND(8)              ! 4-byte integers
135
136 integer(i4b) idum,ia,im,iq,ir,iinit
137 integer(i4b) k,x,y,z,w,c1,c2,c3,c4
138 real(r8b)      rdum
139 parameter (ia=16807,im=2147483647,iq=127773,ir=2836)
140 common /kisscom/x,y,z,w
141
142 !!! Test integer representation !!!
143 c1=-8
144 c1=ishftc(c1,-3)
145 !      print *,c1
146 if (c1.ne.536870911) then
147     print *, 'Nonstandard integer representation. Stopped.'

```

```

147         stop
148     endif
149
150     idum=iinit
151     idum= abs(1099087573 * idum)           ! 32-bit LCG to shuffle seeds
152     if (idum.eq.0) idum=1
153     if (idum.ge.IM) idum=IM-1
154
155     k=(idum)/IQ
156     idum=IA*(idum-k*IQ)-IR*k
157     if (idum.lt.0) idum = idum + IM
158     if (idum.lt.1) then
159         x=idum+1
160     else
161         x=idum
162     endif
163     k=(idum)/IQ
164     idum=IA*(idum-k*IQ)-IR*k
165     if (idum.lt.0) idum = idum + IM
166     if (idum.lt.1) then
167         y=idum+1
168     else
169         y=idum
170     endif
171     k=(idum)/IQ
172     idum=IA*(idum-k*IQ)-IR*k
173     if (idum.lt.0) idum = idum + IM
174     if (idum.lt.1) then
175         z=idum+1
176     else
177         z=idum
178     endif
179     k=(idum)/IQ
180     idum=IA*(idum-k*IQ)-IR*k
181     if (idum.lt.0) idum = idum + IM
182     if (idum.lt.1) then
183         w=idum+1
184     else
185         w=idum
186     endif
187
188     rdum=rkiss05()
189
190     return
191 end subroutine kissinit
192 end program

```

Tarefa D

```

1  !! tarefa-D-12694668.f90
2  program tarefaD
3      open(unit=1,file="D-Tempo.dat",status='unknown')
4      open(unit=2,file="D-Magnetization.dat",status='unknown')
5      Tempo = 0
6      do i=4,10
7          call ising(i,1d0/2d0,Tempo)
8          write(1,*) i, Tempo, log(Tempo)
9      end do
10     close(1)
11     close(2)
12
13     contains
14     subroutine heatbath(g, Beta, L, M)
15         implicit none
16         integer, intent(in) :: L
17         real(8), intent(in) :: Beta
18         real(8), intent(inout) :: M
19         byte, intent(inout) :: g(L,L)
20
21         integer :: x, y, i
22         real(8) :: Pi, r(2), u
23         byte :: H
24
25         do i=1, L*L
26             call RANDOM_NUMBER(r)
27             x = 1 + floor(L*r(1))
28             y = 1 + floor(L*r(2))
29
30             H = ( g(mod(x-2+L,L)+1,y) + g(mod(x,L)+1,y) + g(x,mod(y-2+L,L)+1) +
31                 ↪ g(x,mod(y,L)+1) )
32             Pi = exp( Beta*g(x,y)*H) / ( exp(-Beta*g(x,y)*H) + exp(Beta*g(x,y)*H) )
33
34             call RANDOM_NUMBER(u)
35             if (u .gt. Pi) then
36                 g(x,y) = -g(x,y)
37                 M = M + 2*g(x,y)
38             end if
39         end do
40     end subroutine

```

```

40
41  subroutine ising(L,Beta,Tempo)
42      implicit none
43      integer, intent(in) :: L
44      real(8), intent(in) :: Beta
45      real, intent(out) :: Tempo
46
47      integer, parameter :: nterm = 10000, niter = 500000
48      integer :: i, j, Ntroca
49      real(8) :: Ma, Mb, init(L,L)
50      byte :: g(L,L)
51
52      Ntroca = 1
53      Ma = 0
54      Mb = 0
55
56      call RANDOM_NUMBER(init)
57      g = 2*nint(init)-1
58
59      do i=1, L
60          do j=1, L
61              Ma = Ma + g(i,j)
62          end do
63      end do
64
65      do i=1, nterm
66          call heatbath(g,Beta,L,Ma)
67      end do
68      Mb = Ma
69
70      do i=1, niter
71          call heatbath(g,Beta,L,Mb)
72
73          if (L .eq. 10) write(2,*) i, Mb/(L*L)
74
75          if (Ma*Mb .lt. 0d0) then
76              Ntroca = Ntroca + 1
77              Ma = Mb
78          end if
79      end do
80
81      Tempo = niter/Ntroca
82  end subroutine
83 end program

```
